

**Relazione finale:
Gli animali e gli alberi.**

Chiara Camerota

Università degli studi di Firenze

14 gennaio 2018

**Relazione finale:
Gli animali e gli alberi.**

Chiara Camerota

Università degli studi di Firenze

14 gennaio 2018

**Relazione finale:
Gli animali e gli alberi.**

Chiara Camerota

Università degli studi di Firenze

14 gennaio 2018

**Relazione finale:
Gli animali e gli alberi.**

Chiara Camerota

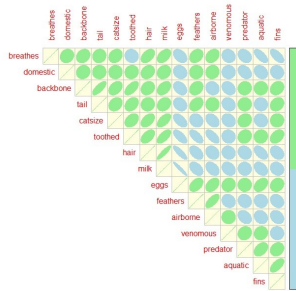
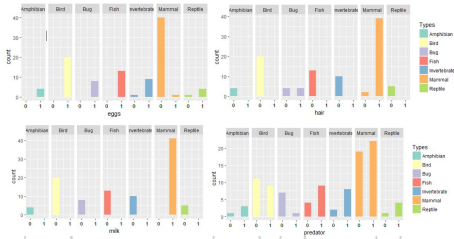
Università degli studi di Firenze

14 gennaio 2018

Gli animali

Descrizione data set e problema

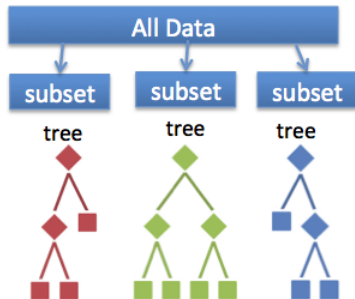
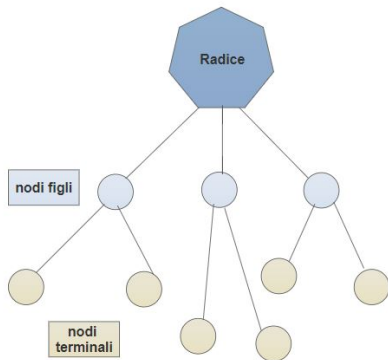
- ▷ 101 animali da classificare
- ▷ 7 gruppi
- ▷ 16 predittori (buona parte Booleani)
- ▷ Problema di classificazione multinomiale
- ▷ Train set: 70 % dei dati originali



Gli alberi

Metodi applicati

- ▷ **CART**
- ▷ **Random Forest**
- ▷ **Stochastic gradient boosting**



CART

Indici di split usati per creare i due alberi e pacchetto

- ▷ **Classification error rate:**

$$E = 1 - \max_k(\hat{p}_{mk})$$

- ▷ **Indice di Gini:**

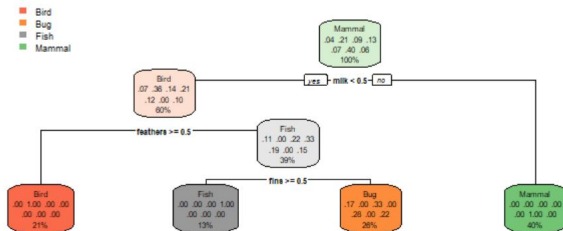
$$G = \sum_{k=1}^K \hat{p}_{mk}(1 - \hat{p}_{mk})$$

Dove \hat{p}_{mk} indica la proporzione di osservazioni del train set nella regione m appartenente alla classe k .

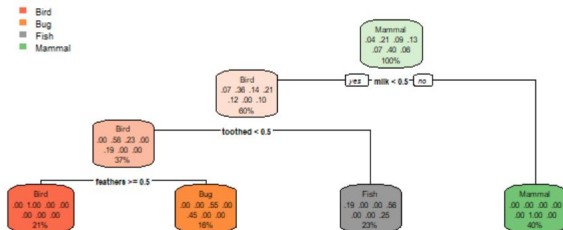
- ▷ **Pacchetto:** *rpart*

CART

CART usando l'indice di Gini




CART usando l'error rate



CART

Matrici di confondimento



cpredg	ytest							
	Amphibian	Bird	Bug	Fish	Invertebrate	Mammal	Reptile	
Amphibian	0	0	0	0		0	0	0
Bird	0	5	0	0		0	0	0
Bug	1	0	2	0		5	0	1
Fish	0	0	0	4		0	0	0
Invertebrate	0	0	0	0		0	0	0
Mammal	0	0	0	0		0	13	0
Reptile	0	0	0	0		0	0	0

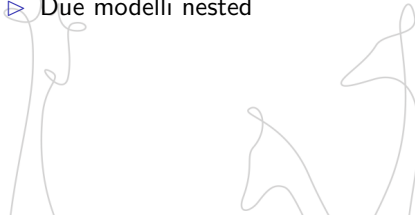
Figura: Matrice di confondimento, usando l'indice di Gini.

cpredi	ytest							
	Amphibian	Bird	Bug	Fish	Invertebrate	Mammal	Reptile	
Amphibian	0	0	0	0		0	0	0
Bird	0	5	0	0		0	0	0
Bug	0	0	2	0		5	0	1
Fish	1	0	0	4		0	0	0
Invertebrate	0	0	0	0		0	0	0
Mammal	0	0	0	0		0	13	0
Reptile	0	0	0	0		0	0	0

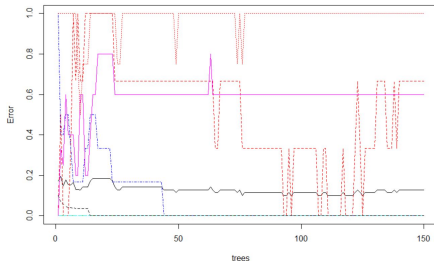
Figura: Matrice di confondimento, usando l'error rate.

Random Forest

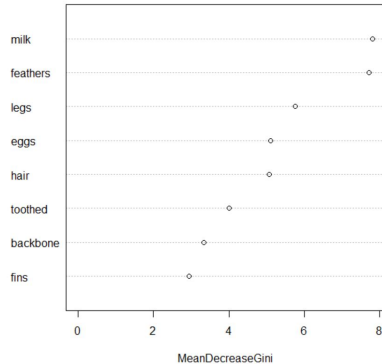
- ▷ Pacchetto: *RandomForest*
- ▷ Usa l'**indice di Gini** per split e pruning
- ▷ Due modelli nested



Random Forest



Top 8- Variable Importance



Random Forest

Matrici di confondimento

	ytest						
predf	Amphibian	Bird	Bug	Fish	Invertebrate	Mammal	Reptile
Amphibian	1	0	0	0	0	0	0
Bird	0	5	0	0	0	0	1
Bug	0	0	2	0	2	0	0
Fish	0	0	0	4	0	0	0
Invertebrate	0	0	0	0	3	0	0
Mammal	0	0	0	0	0	13	0
Reptile	0	0	0	0	0	0	0

Figura: Matrice di confondimento Random Forest

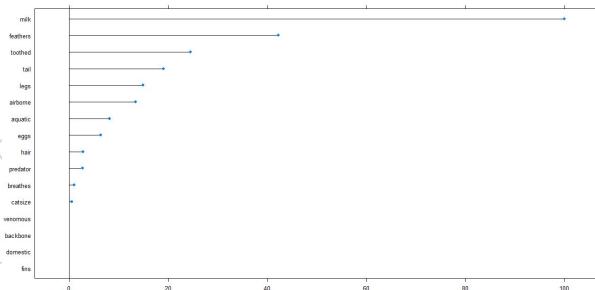
	ytest						
predfvi	Amphibian	Bird	Bug	Fish	Invertebrate	Mammal	Reptile
Amphibian	1	0	0	0	0	0	0
Bird	0	5	0	0	0	0	1
Bug	0	0	2	0	3	0	0
Fish	0	0	0	4	0	0	0
Invertebrate	0	0	0	0	2	0	0
Mammal	0	0	0	0	0	13	0
Reptile	0	0	0	0	0	0	0

Figura: Matrice di confondimento Random Forest con selezione di variabili

Stochastic Gradient Boosting

▷ Pacchetto: *caret*

▷ Funzione perdita : $\Psi_{i,k} = \sum_{i=1}^N \sum_{k=1}^K -\log(p_{\pi(i),k}) 1_{\hat{y}_i=k}$ dove $\hat{y}_{i,k} = 1$ se $\hat{y}_i = k$, altrimenti $\hat{y}_{i,k} = 0$



Stochastic Gradient Boosting

Algoritmo

- ▷ **set:** $\Psi_{i,k} = 0, k = 1 \text{ to } K, i = 1 \text{ to } N$.
- ▷▷ **for** $m=1$ to M **do:**
- ▷▷ **for** $k=1$ to K **do:**
- ▷▷ $\{\pi(i)_1^N = \text{random}(i)\}$
- ▷▷
$$p_{\pi(i),k} = \frac{\exp(\Psi_{\pi(i),k})}{\sum_{s=1}^K \exp(\Psi_{\pi(i),s})}$$
- ▷▷ $\{R_{j,k,m}\}_{j=1}^J = \{\hat{y}_{\pi(i),k} - p_{i,k}, \mathbf{x}_i\}_{i=1}^N$ per il nodo terminale J
- ▷▷
$$\beta_{j,k,m} = \frac{K-1}{K} \frac{\sum_{\mathbf{x}_i \in R_{j,k,m}} \hat{y}_{i,k} - p_{i,k}}{(1 - p_{i,k})p_{i,k}}$$
- ▷▷ $\Psi_{i,k} = \Psi_{i,k} + \lambda \beta_{j,k,m} \mathbf{1}_{\mathbf{x}_i \in R_{j,k,m}}$
- ▷ **end both for**

Stochastic Gradient Boosting

Stochastic Gradient Boosting

68 samples

16 predictors

7 classes: 'Amphibian', 'Bird', 'Bug', 'Fish', 'Invertebrate', 'Mammal', 'Reptile'

No pre-processing

Resampling: Cross-Validated (5 fold, repeated 5 times)

Summary of sample sizes: 54, 54, 54, 54, 56, 53, ...

Resampling results across tuning parameters:

interaction.depth	n.trees	Accuracy	Kappa
1	50	0.8756410	0.8350528
1	100	0.8990989	0.8673443
1	150	0.9050330	0.8749537
2	50	0.8659267	0.8217592
2	100	0.8904322	0.8560520
2	150	0.8871648	0.8515514
3	50	0.8839560	0.8460873
3	100	0.8959267	0.8623446
3	150	0.8990696	0.8673871

Tuning parameter 'shrinkage' was held constant at a value of 0.1

Tuning

parameter 'n.minobsinnode' was held constant at a value of 10

Accuracy was used to select the optimal model using the largest value.

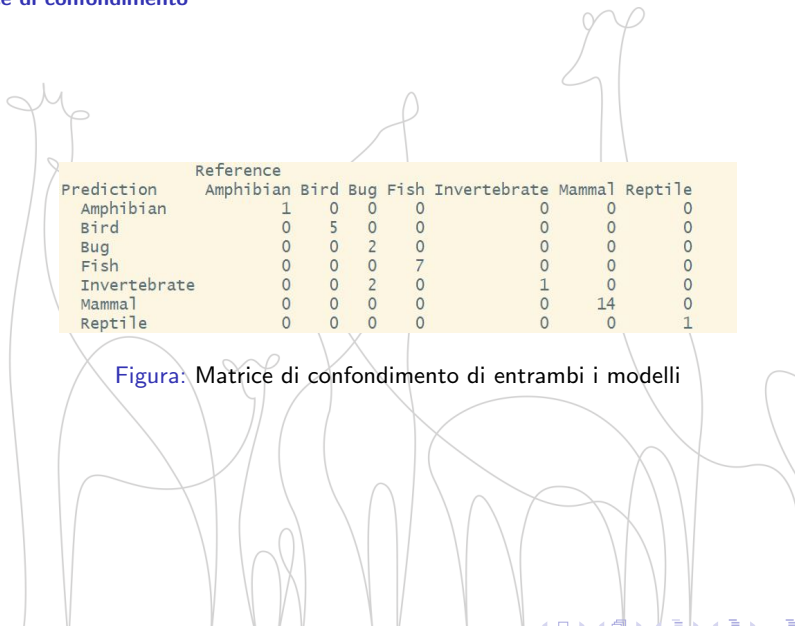
The final values used for the model were n.trees = 150, interaction.depth =

1, shrinkage = 0.1 and n.minobsinnode = 10.

Figura: Descrizione del modello

Stochastic Gradient Boosting

Matrice di confondimento

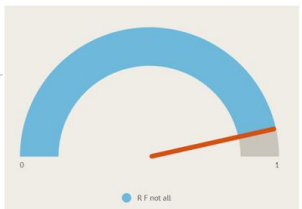
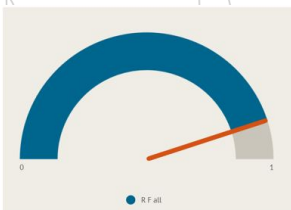


Prediction	Reference						
	Amphibian	Bird	Bug	Fish	Invertebrate	Mammal	Reptile
Amphibian	1	0	0	0	0	0	0
Bird	0	5	0	0	0	0	0
Bug	0	0	2	0	0	0	0
Fish	0	0	0	7	0	0	0
Invertebrate	0	0	2	0	1	0	0
Mammal	0	0	0	0	0	14	0
Reptile	0	0	0	0	0	0	1







Figura: Matrice di confondimento di entrambi i modelli

Conclusione

Classificatore	Accuratezza
CART (entrambi)	0.81
Random Forest (senza selezione di variabili)	0.90
Random Forest (con selezione di variabili)	0.93
Stochastic GB (entrambi)	0.93



Bibliografia

-  Johnson, R.A., & Wichern, D.W., *Applied multivariate statistical analysis*, Pearson 2014
-  T. M. Mitchell, *Machine Learning*, McGraw-Hill, 1997
-  T. Hastie, R. Tibshirani, & J. Friedman. *The Elements of Statistical Learning. Data Mining, Inference, and Prediction. 2nd edition*, Springer, 2009
-  Frank, Eibe, et al. *Using model trees for classification*, *Machine Learning* 32.1 1998: 63-76
-  Ho, Tin Kam *Proceedings of the 3rd International Conference on Document Analysis and Recognition, Montreal, QC, 14-16 August 1995*. pp. 278-282
-  Friedman, J. H., *Stochastic Gradient Boosting* , 1999

Bibliografia



Mason, L.; Baxter, J.; Bartlett, P. L.; Frean, Marcus "*Boosting Algorithms as Gradient Descent*"; In S.A. Solla and T.K. Leen and K. Müller., Advances in Neural Information Processing Systems 12. MIT Press. pp. 512?518.



Hastie, T.; Tibshirani, R.; Friedman, J. H. *The Elements of Statistical Learning (2nd ed.)*, New York: Springer, 2009.